



## تهیه رادیوداروی $[^{61}\text{Cu}]$ - پیروآلدئید بیس ( $\text{N}^4$ -متیل تیوسی کاربازون) و کنترل کیفی آن برای تشخیص پزشکی به روش PET

امیررضا جلیلیان<sup>\*</sup>، پژمان روشنفرزاد، مهشید ثابت، محسن کمالی دهقان، محمد میرزایی، امیرعباس رجامند  
مرکز تحقیقات کشاورزی و پزشکی هسته ای، سازمان انرژی اتمی ایران، منطقه پستی: ۴۹۸-۴۱۴۸۵، کرج- ایران

**چکیده:** یکی از مهمترین رادیوداروهای حاوی رادیوایزوتوپهای مس که در حال حاضر به صورت آزمایشی به مصارف بالینی میرسد، رادیوداروی «پیروآلدئید بیس ( $\text{N}^4$ -متیل تیوسی کاربازون)» است. در این کار پژوهشی مراحل تولید رادیوایزوتوپ مس-۶۱ به صورت محصول بمباران روی طبیعی در اثر واکنش هسته ای  ${}^{\text{nat}}\text{Zn}(\text{p},\text{xn}){}^{61}\text{Cu}$  به وسیله پروتونهای شتاب گرفته در سیکلوترون با انرژی ۲۲ مگا الکترون ولت و شدت جریان ۱۵۰ میکرو آمپر، که منجر به تولید مس-۶۱ با آکتیویته  $6/23$  کوری و بهره تولید حدود  $33/3$  میلی کوری بر میکرو آمپر- ساعت گردید توصیف شده، سپس سنتز و تأیید کامل ساختار مولکولی ماده چنگکی پیروآلدئید بیس- ${}^{61}\text{Cu}$ -متیل تیوسی کاربازون) به روشهای طیف سنجی، و در نهایت نشانه‌سازی آن با مس-۶۱ به صورت کلرید گزارش شده است. در این بررسی، کنترل کیفی کامل رادیودارو به منظور اطمینان از قابلیت تزریق آن به موجود زنده نیز انجام شد.

**واژه‌های کلیدی:** مس-۶۱، پرتوداروما، واکنش‌های هسته‌ای، ترکیبات مس، کنترل کیفیت، PET،  ${}^{61}\text{Cu}$ -PTSM

## Preparation and Quality Control of $[^{61}\text{Cu}]$ Pyruvaldehyde-Bis ( $\text{N}^4$ -Methylthiosemicarbazone) Complex for PET Diagnosis

A.R. Jalilian\*, P. Rowshanfarzad, M. Sabet, M. Kamalidehghan, M. Mirzaii, A.A. Rajamand  
Nuclear Research Center for Agriculture and Medicine, AEOI, P.O. Box: 31485 - 498, Karaj - Iran

**Abstract:** Cu-pyruvaldehyde-bis( $\text{N}^4$ -methylthiosemicarbazone) (Cu-PTSM) is the most important copper radiopharmaceutical used in clinical experiments. In this work, Copper-61 ( $T_{1/2}=3.33$  h) production process was accomplished via the  ${}^{\text{nat}}\text{Zn}(\text{p},\text{xn}){}^{61}\text{Cu}$ , using 22MeV protons, and the current of 150  $\mu\text{A}$ , resulted in 6.33 Ci of copper-61 with the production yield of 33.3 mCi/ $\mu\text{Ah}$ . The complexing agent, PTSM, was synthesized and its structure was confirmed by the common spectroscopic methods, followed by radiolabeling with  ${}^{61}\text{Cu}-\text{CuCl}_2$ . The final radiopharmaceutical solution underwent common quality control tests for animal injection.

**Keywords:** copper-61, radiopharmaceuticals, nuclear reactions, copper compounds, quality control,  ${}^{61}\text{Cu}$ -PTSM, PET



تاریخ پذیرش مقاله: ۱۳۸۲/۱۲/۹  
 \*email: ajalilian@nrcam.org

نسبت به هم آمیخته های یُد رادیوآکتیو، پاسخ درمانی بهتری نشان داده است [۱۴]. تاکنون کمپلکسهاي متعددی از مس تهیه شده است که در تشخیص پزشکی مورد استفاده قرارگرفته اند، اما متأسفانه اکثر

جدول ۱- مشخصات هسته ای رادیوایزوتوپ  $^{61}\text{Cu}$

رادیوایزوتوپ	نیمه عمر	انرژیهای گاما (keV) و شدت (%)
$^{61}\text{Cu}$	۲/۲۳ ساعت	۵۱۱: $\beta^+$ (%۱۲۰) ، ۲۷۲ (%۲/۱۵) ، ۹۵۹ (%۱۰/۷۷) ۱۱۸۵/۲۳ (%۳/۷۵) ، ۶۷/۴۱ (%۴/۲۳) ۲۸۲/۹۶ (%۱۲/۲)

آنها در بدن پایداری مناسبی نشان نداده اند. از جمله این کمپلکسها میتوان به Cu-DTPA و Cu-EDTA اشاره کرد [۱۵ و ۱۶]. بسیاری از لیگاندهای مس برای تصویربرداری از تومورها و درمان آنها مورد استفاده قرارگرفته اند. یکی از این مواد ATSM<sup>(۱)</sup> است که در تصویربرداری از بافت‌های سرطانی کم اکسیژن دار به کار رفته است [۱۷]. ولی بدون شک بهترین کمپلکس مس در پزشکی هسته ای نوین  $^{61}\text{Cu}-\text{N}^4$ -[Cu]-پیروآلدئید بیس (Cu-PTSM) متیل تیوسومی کاربازون است [۱۸ و ۱۹] که برای تصویربرداری از خون رسانی بافت عضلانی قلب و مغز بکار می‌رود [۲۰]. تا ۲۴ نکته جالب این است که کمپلکس خنثای مس دو ظرفیتی، پس از رسیدن به برخی تومورها (که بیشتر آنها کم اکسیژن نیز هستند) به صورت یون مس یک ظرفیتی احیا می‌شود. در نتیجه بار کلی کمپلکس منفی شده و در فضای چربی دوست یاخته سرطانی به دام می‌افتد و می‌تواند وظيفة تشخیصی و یا درمانی خود را انجام دهد.

با توجه به تولید آزمایشی رادیوایزوتوپ مس-۶۲ $^{62}\text{Zn/Cu}$  [۲۵] و لزوم انجام

تاریخ دریافت مقاله: ۱۳۸۲/۱۰/۲۸

## ۱- مقدمه

یکی از رادیوایزوتوپهای مورد توجه در تحقیقات پزشکی هسته ای، مس-۶۱ است که به دلیل داشتن نیمه عمر مناسب و سهولت تولید، یکی از بهترین گزینه‌ها برای تهیه مولکولهای نشاندار تشخیصی به شمار می‌رود [۱۴ تا ۴]. نیمه عمر رادیوایزوتوپ مس-۶۱ در حدود  $\frac{2}{3}$  ساعت است و در اثر واپاشی آن به ایزوتوپ پایدار نیکل ۶۱ ، فوتونهای گامای شاخص ۲۸۳ کیلو الکترون ولت ( $\text{eV}$ ) ۶۵۶ کیلو الکترون ولت ( $\text{eV}$ ) و ۵۱۱ کیلو الکترون ولت ( $\text{eV}$ ) گسیل می‌شوند. و احتمال گسیل ذره  $\beta^+$  با انرژی معادل  $1/22$  مگا الکترون ولت [۵] به میزان %۶۱ و گیراندازی الکترونی  $(10\text{ eV})^{39}$  گزارش شده است [۶] مشخصات هسته ای این رادیوایزوتوپ به طور خلاصه در جدول ۱ درج شده است [۷].

رادیوایزوتوپ مس-۶۱ به وسیله واکنش  $^{nat}\text{Zn}(p,xn)^{61}\text{Cu}$  در سیکلولترون قابل تولید است. نکته جالب توجه، کیفیت عالی کمپلکس پذیری مس دو ظرفیتی، از نظر همتافتی  $(2)$  نسبت به تکنیسیوم و عدم نیاز به واکنشگرهای احیاکننده رایج در پردازش شیمیایی تکنیسیوم است. مس دو ظرفیتی به آسانی کمپلکسهاي مسطح چربی دوست فاقد بار الکتریکی ایجاد می‌کند که آنها را می‌توان برای بررسی خون رسانی قلب و تصویربرداری از بافت‌های سرطانی مورد استفاده قرار داد [۸ تا ۱۰]. بسیاری از پادتهاي سرطانی را با این ایزوتوپ نشاندار کرده و برای تشخیص بدخیمی‌ها بکار برده اند [۱۱ تا ۱۳]. در برخی موارد، کمپلکسهاي مس-۶۷ در ایمونوتراپی سرطانهاي لنفوم غیرهوجکین  $(3)$  برتری مطلق دارند. به علاوه در بسیاری از سرطانهاي روده بزرگ، مس-۶۷ نشاندار شده با پادتن CEA



یونهای روی و مس دو ظرفیتی با ۲۵ میلیلیتر اسید کلریدریک <sup>۹</sup> نرمال از ستون خارج شدند. با افزودن ۳۰ میلیلیتر آب به این محلول، حدود ۹۵ تا ۱۰۰ میلی لیتر محلول اسیدی <sup>۶</sup> نرمال به دست آمد. کل این فرایند طی مدت ۴۵ دقیقه انجام شد. ماده حاصل، به ستون مبادله یونی (100-200 mesh, AG1x8 Cl<sup>-</sup> form, h:25 cm, Ø:1.7 cm)

از پیش شسته شده با ۱۰۰ میلیلیتر اسید کلریدریک <sup>۶</sup> نرمال منتقل، و پس از شستشو با ۵۰ میلیلیتر اسید کلریدریک <sup>۲</sup> نرمال، مس-۶۱ به صورت کلراید مس-۶۱ خارج شد. این مرحله ۱۵ دقیقه به طول انجامید.

## ۲-۲ کنترل کیفی

### الف- خلوص شیمیایی

تولید مس-۶۱ با بمباران هدف Zn جامد روی نگهدارنده‌ای از جنس مس طبیعی با روکش طلا صورت گرفت. بنابراین، محلول نهایی کلراید مس-۶۱ به لحاظ وجود عنصر مس و روی بررسی شد. کنترل کیفی محصول با استفاده از روش‌های رنگ‌سنگی، مورد تأیید دارونامه‌های رسمی، با استفاده از معروف دیتیزون انجام گرفت.

### ب- خلوص رادیونوکلئیدی

خلوص رادیونوکلئیدی محصول با استفاده از آشکارساز ژرمانیوم فرالحص (HPGe) جفت شده با آنالیزور چند کاناله مورد بررسی قرار گرفت.

## ۳-۲ تهیه پیروآلدئیدبیس-(<sup>۶۱</sup>N- متیل تیوسیمی کاربازون)

تهیه این ترکیب، بر طبق روش کلی تهیه ترکیبات تیوسیمی کاربازون، از آلدئیدهای مربوط به آن انجام شد [۲۶]. محلول پیروآلدئید (۱۱۵ میلیگرم، ۱ میلیمول) در ۵ میلیلیتر اتانول به مدت ۵ دقیقه در دمای ۵۰ درجه سانتی‌گراد، قطره قطره به مخلوط <sup>۶۱</sup>N- متیل تیوسیمی کاربازید (۲۱۰ میلیگرم، ۲ میلیمول) در ۱۰ میلی

دادن تحقیقات بیشتر روی رادیوداروهای مس، بر آن شدیم تا ضمن امکان‌سنجی تولید مس-۶۱ به عنوان رادیونوکلئید پوزیترون دهنده و سنتز ماده اولیه PTSM<sup>(۱)</sup>، به تهیه و کنترل کیفی مهمترین رادیوداروهای حاوی رادیوایزوتوپ مس <sup>۶۱</sup>Cu-PTSM یعنی رادیوداروهی بپردازیم.

## ۲- روش کار

کلیه مواد شیمیایی از کمپانی Aldrich تهیه شدند. کروماتوگرافی مواد نشاندار نشده روی لایه نازک سیلیکاژل بر پایه آلومینیومی (مدل ۲۰×۲۰ cm, TLC Ready Foils Schleicher & Schuell) صورت گرفت. رادیوکروماتوگرافی روی یک موتور متحرک مجهز به آشکارساز ژرمانیوم فرا خالص مدل (GC1020-7500 SL) با استفاده از لایه های سیلیکاژل بر پایه آلومینیوم صورت گرفت. کلیه شمارشها با استناد به پیک ۲۸۳ کیلو الکترون ولت انجام شد. روی طبیعی به صورت اکسید با درجه خلوص بیش از ۹۹ درصد برای ساخت هدف مورد استفاده قرار گرفت.

## ۱-۲ استخراج مس-۶۱ از هدف و خالص سازی آن

هدف روی (Zn) طبیعی به ضخامت تقریبی ۷۵ میکرون بر روی زیر لایه مس با روکش نازکی از طلا، به روش آبکاری لایه ضخیم نشانده شد. روکش طلا به منظور جلوگیری از ورود مس حامل به محصول، مورد استفاده قرار گرفت. ماده هدف، پس از بمباران با پروتونهای MeV <sup>22</sup>, بلاfaciale در ۱۵ میلیلیتر محلول اسید کلریدریک <sup>۱۰</sup> نرمال حاوی ۲۰ میکرولیتر (دو قطره) آب اکسیژنه حل، و در ستون کروماتوگرافی مبادله یونی (200- mesh, AG 50W H<sup>+</sup>form, h:10 cm, Ø:1.3 cm) ۴۰۰ که با ۲۵ میلیلیتر اسید کلریدریک <sup>۹</sup> نرمال قبل شده بود، تزریق گردید. گالیوم در ستون کروماتوگرافی جذب و

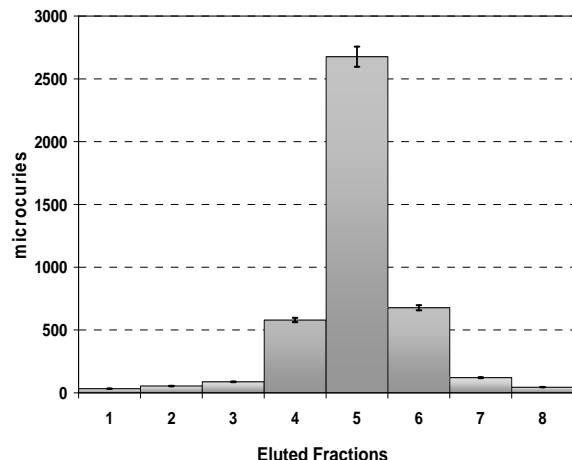


محلول شوینده دارای بیشترین آکتیویته (لوله ۵)، به عنوان نمونه مناسب انتخاب و با افزودن ۷/۵ میلیلیتر محلول نمکی نرمال فرمولیندی شد. برای انجام آزمونهای بیولوژیکی، محلول نهایی از ستون Millex با منافذ ۰/۲۲ میکرونی عبور داده شد. آزمایشهای کنترل کیفی (شامل کنترل رادیونوکلئیدی، رادیوشیمیایی، شیمیایی) روی محلول حاصل نیز انجام شدند.

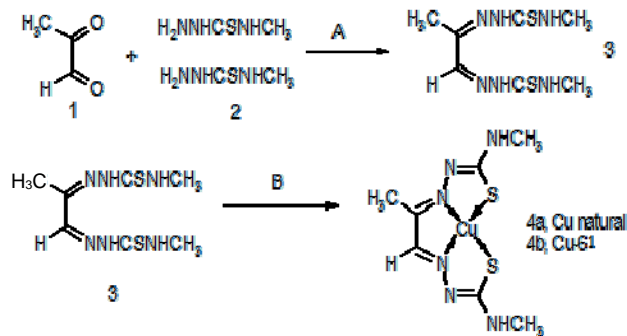
نمودار شمایی روش تولید ترکیبات Cu-PTSM و PTSM در شکل ۲ نشان داده شده است.

#### ۴-۲ کنترل کیفی داروی $[^{61}\text{Cu}]$ - پیروآلدئید بیس - $(\text{N}^{\text{4}}-\text{متیل تیوسی کاربازون})$

برای انجام کنترل کیفی، محلول رادیوآکتیو حاصل به روش کروماتوگرافی روی لایه نازک سیلیکاژل با حلآل اتیل



شکل ۱-۱ آکتیویته محلول شوینده رادیودارو که به تدریج با حجم ۲/۰ میلی لیتر از ستون C<sub>18</sub>Sep-Pak خارج و در ڈزنج شمارش شده است.



لیتر اتانول مطلق، در حال بهمzدن افزوده شد. پس از ۱۰ دقیقه که ظرف واکنش سرد شده بود، محتویات آن صاف و رسوب حاصل، ابتدا به وسیله دیاتیل اتر و پس از آن با ۵ میلیلیتر آب شسته شده، سپس در اتانول داغ متبلور شد و جسمی با نقطه ذوب ۲۴۱-۲۴۳ درجه سلسیوس بدست آمد. وزن بلورهای حاصل در حدود ۲۹۳ میلیگرم (با زد ۶۰ درصد) بود. داده های طیفی PTSM چنین است:

<sup>1</sup>H NMR (D<sub>6</sub> - DMSO)  $\delta$  (ppm) 11.74 (s, 1H, NH-N<sub>2</sub>), 10.33 (s, 1H, NH-N<sub>2</sub>), 9.43 (m, 2H, NH-N<sub>4</sub>),

7.68 (s, 1H, H-C=N), 3.31 (s, 3H, CH<sub>3</sub>-C=N).

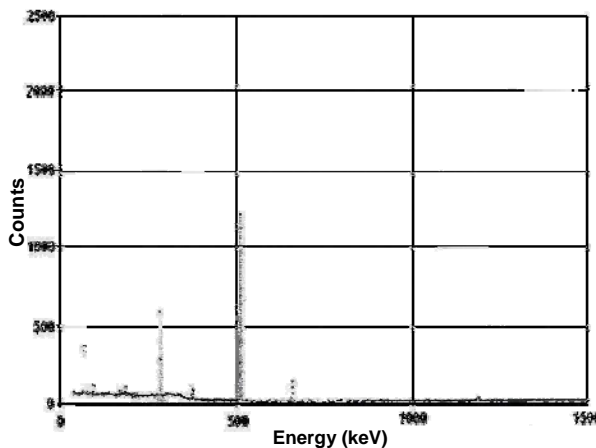
IR (CHCl<sub>3</sub>)  $\lambda$  max 3208, 3132 (N-H), 1429 (C=N), 1111 (C=S). Mass (electrospray) 246.1 (14%) M<sup>+</sup>, 215(7), 172(4), 157.1(76), 130(65), 115.8(98), 73.8(100), 56.9(68).

#### ۴-۲ تهیه $[^{61}\text{Cu}]$ - پیروآلدئید بیس - $(\text{N}^{\text{4}}-\text{متیل تیوسی کاربازون})$

به ظرفی ۵ میلیلیتری، حاوی ۳ میلیلیتر محلول رادیوآکتیو (۶۱ میلی کوري) کلراید مس-۴، ۳ میلیلیتر محلول استات سدیوم ۳ مولار افزوده شد تا به صورت استات مس درآید. سپس ۳ میکروگرم پیروآلدئید بیس -  $(\text{N}^{\text{4}}-\text{متیل تیوسی کاربازون})$  محلول در الکل اتیلیک (۲۰۰ میکرولیتر) به مخلوط اضافه و در حرارت ملایم ۵۰ درجه سانتیگراد به مدت ۲ دقیقه به شدت همزده شد. ظرف به دمای محیط رسانده شد و ماده حاصل به وسیله سرنگ به ستون کروماتوگرافی یک بار مصرف فاز معکوس (C<sub>18</sub> Sep- Pak) تزریق گردید. سپس ستون با ۱ تا ۳ میلیلیتر آب شسته شد تا باقیمانده مس بدون واکنش خارج شود. در پایان عمل، ستون به وسیله جریان ازت خشک شد. رادیوداروی خالص به وسیله استخراج گردید. محلولهای خروجی با روش ڈزنجی اندازه‌گیری شدند (شکل ۱).



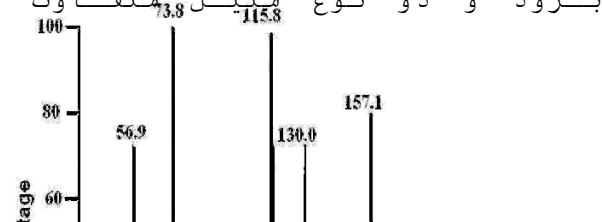
**سنتز ماده کمپلکس‌کننده:** واکنش بین تیوسومی کاربازید و آلدئید از مهمترین واکنش‌های تشخیص‌دهنده آلدئیدها است که با تولید رسوب تیوسومی کاربازون مربوط به آن همراه است. با چند بار سرد و گرم کردن ظرف واکنش، مقادیر بیشتری از محصول رسوب می‌کند. برای انجام دادن واکنش نشاندارسازی، بلوری کردن مجدد محصول در مجاورت محلول آب-الکلی داغ، به منظور ایجاد بلورهایی با درجه خلوص بالا ضروری است.



شکل ۲- فوتوفیکهای طیف محلول نهایی حاصل از استخراج و خالمسازی مس-۶۱.

طیفنگاری جرمی نمونه، جرم مولکولی محصول را در ۲۴۶ نشان داد که مؤید وجود ماده PTSM است، هر چند ارتفاع پیک آن نسبتاً کم است (در حدود ۱۴%). این رفتار در مورد تیوسومی کاربازونها شناخته شده است، زیرا پایداری حرارتی آنها اندک است و با حذف پاره‌های مولکولی شکسته می‌شوند (شکل ۴). برای تأیید ساختار پروتونی ترکیب سنتز شده، از روش طیفسنجی  $^1\text{H}$ -NMR استفاده شد. طیفنگاری در دمای ۲۵

درجه سلسیوس و در حلال دی‌متیل سولفوکسید با شش اتم دوتريوم انجام شد. جابجایی شیمیایی گروههای (NCH<sub>۲</sub>) در ناحیه‌ای بسیار نزدیک ولی اندکی متفاوت دیده می‌شود. به نظر می‌رسد درهم پیچیدگی مولکول موجود می‌شود که تقارن موجود در آن از بین بروود و دو نوع متیل ۳,۸-متفاوت



شکل ۲- نمودار شمایی از روش تولید ترکیبات PTSM(3) و PTSM(4).

استات به عنوان فاز متحرک، مورد بررسی قرار گرفت [۲۷]. درجه خلوص رادیوشهیمیایی با مقایسه رادیوپیک مولکول نشاندار [<sup>61</sup>Cu] - پیروآلدئید بیس - N<sub>۴</sub> - متیل تیوسومی کاربازون) در مس-۶۱ در  $R_f = 0.85$  نسبت به رادیوپیک یون

مس-۶۱ در  $R_f = 0.61$  بررسی شد.

### ۳- یافته‌ها و بحث

**بمباران:** پس از ۱۹۰ میکروآمپر ساعت بمباران پروتونی با انرژی ۲۲ میلیون الکترون ولت و شدت جریان ۱۵۰ میکروآمپر، محصول نهایی (<sup>61</sup>Cu) با آکتیویته ۳/۳۶ کوری به دست آمد. بهره تولید در حدود ۳۳/۳ میلیکوری بر میکروآمپر ساعت حاصل شد.

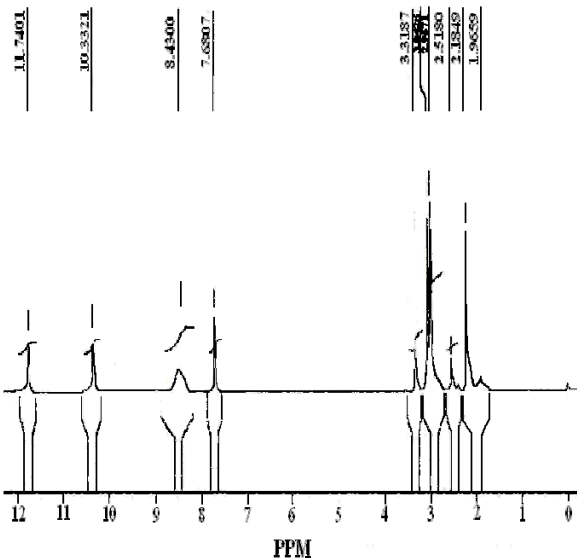
**کنترل کیفی محصول مس-۶۱:** کنترل شیمیایی با استفاده از معرف دی‌تیزون انجام شد. در صورت وجود یونهای مس و روی، محلول به ترتیب به رنگ صورتی و زرد در می‌آید. با وجود این که حداقل دقت عملی در این تحقیق برای روی تا ۱/۵ و برای مس تا ۵/۱٪ بخش در میلیون بود، هیچ تغییر رنگی در محلول مشاهده نشد که بیانگر عدم وجود یونهای مذکور تا حد بسیار پایینتر از محدوده مجاز دارونامه‌های رسمی بین‌المللی است (به ترتیب برای روی و مس حد فارماکوپه ایالات متحده: ۱۰ و ۶٪ در میلیون و حد فارماکوپه اروپا: ۵ و ۵٪ بخش در میلیون است).

در شکل ۳ طیف کامل نمونه، حاصل از آشکارساز ژرمانیوم فراخالص نشان داده شده است. بطوری که در شکل مشاهده می‌شود، طیف دارای فوتوفیکهای ۶۷ و ۲۸۲/۹ و ۳۷۳ و ۵۱۱ و ۶۵۶ کیلوالکترون ولت است که همه آنها مربوط به رادیوایزوتوب پوزیترون دهنده مس-۶۱ هستند. بنابراین، محصول از درجه خلوص رادیونوکلئیدی بالایی برخوردار است.



دارای قطبیت بسیار کمتری می شود. از همین خاصیت در جداسازی شیمیایی  $[^{64}\text{Cu}]$ -PTSM از ماده نشاندار نشده، یون مس و سایر کمپلکسهای احتمالی قادر اثر دلخواه، استفاده می شود.

توسّط



شکل ۵- طیف تشدید مغناطیسی هسته هیدروژن برای مولکول PTSM سنتز شده.  
کنترل کیفی محصول نشاندارشده: خلوص رادیوشیمیایی  $[^{64}\text{Cu}]$ -PTSM به دست آمده، به روش کروماتوگرافی روی لایه نازک سیلیکاژل انجام شد. شکل های ۶ و ۷ رادیوکروماتوگرامهای محلول حاصل از واکنش را قبل و بعد از استفاده از ستون کروماتوگرافی  $\text{C}_{18}$  نشان می دهند.

به منظور دستیابی به بهترین شرایط واکنش، آزمایش های برای تعیین اسیدیتّه، دما، زمان و نسبت PTSM به آکتیویته انجام گرفت:  
**(الف) اثر اسیدیتّه:** از آنجاکه PTSM دارای گروه های شبه اسیدی است، بهترین بار الکتریکی برای کمپلکس شدن، در صورت منفی شدن گروه های شبه اسیدی، در مجاورت باز ضعیف می باشد. با افزودن محلولهای  $0/5$ ،  $1$ ،  $2$  و  $3$  مولار استات سدیوم به محلول اسیدی کلرید مس اولیه برای تهیه استات مس،

شکل ۴- طیف جرمی مولکول سنتز شده PTSM

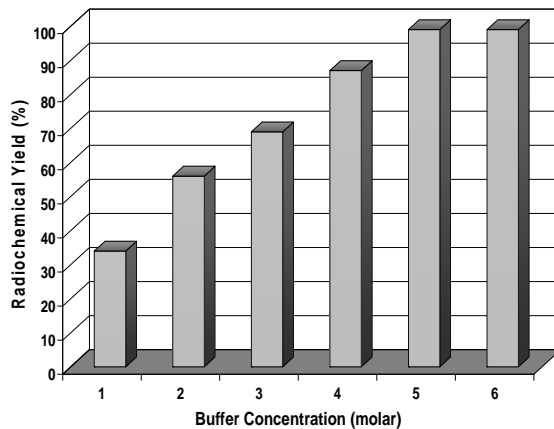
میدان مغناطیسی احساس شود. متیل متّصل به گروه ایمینو-  
( $\text{CH}_3\text{C}=\text{N}$ ) دارای جابجایی متفاوت بوده و در حدود  $3/4$  بخش در میلیون دیده می شود. تک شاخه های پروتونهای متّصل به نیتروژن در جابجایی های شیمیایی متفاوت در  $11/7$ ،  $10/3$ ،  $10/6$ ،  $2/5$  بخش در میلیون دیده می شود. پروتون وینیلی توسّط استخلافات  $3-1$  به صورت  $4$  تایی شاخه دار شده و در  $8/4$  بخش در میلیون دیده می شود. چند شاخه موجود در  $2/5$  بخش در میلیون مربوط به حلآل آزمون یعنی دی متیل سولفوکسید است؛ بنابراین طیف نگاری NMR نیز ساختار مولکولی به دست آمده را تأیید می کند (شکل ۵).

**نشاندارسازی:** در هر نشاندارسازی، نسبت پیک رادیوکروماتوگرام  $[^{64}\text{Cu}]$ -PTSM در  $R_f = 0/85$  و یون مس در  $R_f = 0$  معیار موققیت آمیز بودن نشاندارسازی در نمونه دارویی محسوب می شود. فرم  $[^{64}\text{Cu}]$ -PTSM که دارای جذب فرابینفس و جذب در ناحیه بسامد نور زرد است، بیشینه جذب رادیو آکتیویته را نیز دارد می باشد. این مولکول نشاندار به سبب درگیر شدن گروه های قطبی SH و NH مولکول اولیه PTSM پس از نشاندار شدن با مس-۶۱



دقیقه اول، بازده رادیوشیمیایی بسیار خوبی بدست آمد، پس از آن تغییر محسوسی مشاهده نشد. بنابراین، با توجه به کافی بودن نیمه عمر رادیوایزوتوپ مس-۶۱ (حدود ۳/۳ ساعت)، این زمان قابل قبول است.

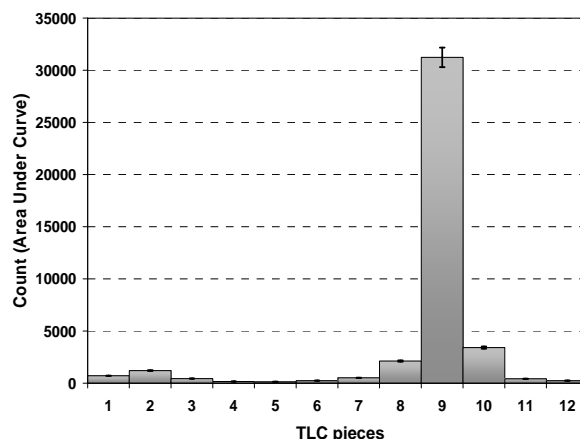
د) اثر نسبت مس رادیوآکتیو به **PTSM**: واکنش مقادیر ۰/۲۵، ۰/۰۵، ۱/۲ و ۳ میکروگرم PTSM با ۳ میلی کوری از محصول (به صورت کلراید مس) در شرایط پیشگفته بررسی شد. بهترین واکنش با حدود ۳-۲ میکروگرم PTSM حاصل شد و بکاربردن از مقادیر بیشتری از این ماده، در بازده تغییری ایجاد نکرد، اما PTSM غیر رادیوآکتیو در اتصال با یاخته سرطانی با داروی نشاندار رقابت می‌کند و اثراهای سفی نیز دارد. بنابراین مناسبترین نسبت برای مس رادیوآکتیو بر حسب میکروگرم PTSM بر حسب میکروگرم، یک به یک تعیین شد.



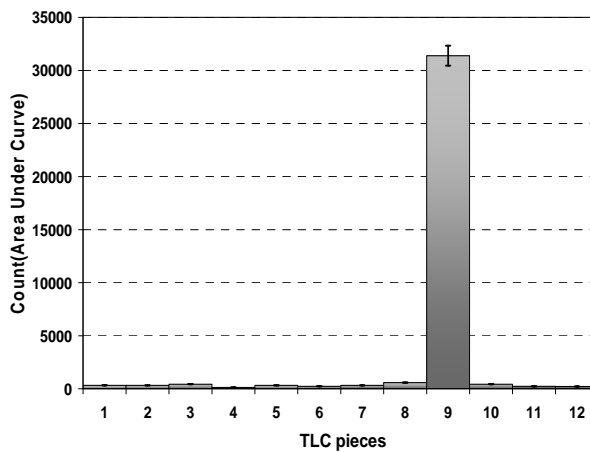
شکل ۸- رابطه غلظت بافر اولیه و بازده رادیوشیمیایی در دمای ۵۰ درجه سانتیگراد.

بررسی پایداری: پس از گذشت ۱۲ ساعت، هیچگونه تغییری در خلوص رادیوشیمیایی محلول کمپلکس نشاندار شده مشاهده نشده و این نشاندهنده پایداری کمپلکس رادیودارویی حاصل است.

تعیین آکتیویته ویژه: چنانچه A آکتیویته بکاررفته در فرمولاسیون ( $^{99}\text{mCi}$ )، Ra ( $^{23}\text{Ra}$ ) نشاندارسازی (درصد) و M جرم مولکولی ماده مصرفی ( $307\text{ gr/mol}$ )



شکل ۶- رادیوکروماتوگرام محلول نشاندار شده قبل از عبور از  $\text{C}_{18}\text{ Sep-Pak}$  بر اساس پیک ۲۸۳ keV.



شکل ۷- رادیوکروماتوگرام محلول لوله ۵ keV بر اساس پیک ۲۸۳ در شرایط بهینه. بازده نشاندارسازی (نسبت ماده نشاندار به مس آزاد) تعیین شد (شکل ۸).

ب) اثر دما: افزایش دمای واکنش تا ۵۰ درجه سانتیگراد باعث افزایش بازده شد ولی از ۵۵ تا ۷۰ درجه سانتیگراد تغییری در بازده مشاهده نشد. حرارت دادن بیش از ۷۰ درجه سانتیگراد منجر به تولید محصول نشاندار دیگری می‌شد که بدون شک ماده مورد نظر نبود و از طرفی در خالصسازی محصول نهایی اختلال ایجاد می‌کرد. با توجه به این که در دمای ۵۰ درجه سانتیگراد بازده بسیار مناسبی بدست آمد، ۵۰ درجه سانتیگراد به عنوان دمای مناسب انتخاب شد.

ج) اثر زمان: در دمای ۵۰ درجه سانتیگراد (دمای بهینه)، در ۵

- ۱- Coordinance
- ۲- Non-Hodgkin Lymphoma
- ۳- Chorionic Embryonic Antibody
- ۴- Acetyl- Methylthiosemicarbazone
- ۵- PTSM: Pyruvaldehyde-Bis (N<sup>4</sup>-Methylthiosemicarbazone)
- ۶- PET: Positron Emission Tomography

## References:

1. S. Mirzadeh, L.F. Mausner, S.C. Srivastava, "Production of No-Carrier Added  $^{67}\text{Cu}$ ," Int. J. Appl. Radiat Isot. **37**(1), 29-36 (1986).
2. D.W. McCarthy, L.A. Bass, P.D. Cutler, R.E. Shefer, R.E. klinkowstein, P. Herrero, J. S. Cutler, C.J. Anderson, M. J. Welch, "High purity production and potential applications of copper-60 and copper-61," Nucl. Med. Biol. **26**, 351-358 (1999).
3. C.S. Cutler, J.S. Lewis, C.J. Anderson, "Utilization of metabolic, transport and receptor-mediated processes to deliver agents for cancer diagnosis," Advanced Drug Delivery Reviews. **37**, 189-211 (1999).
4. F. Szelecsényi, K. Suzuki, Z. Kovács, M. Takei, K. Okada, "Production possibility of  $^{60,61,62}\text{Cu}$  radioisotopes by alpha induced reactions on cobalt for PET studies," Nucl. Inst. Meth. [b]., **187**, 153-163 (2002).
5. H. Muramatsu , E. Shirai , H. Nakahara, Y.Murakami, "Alpha particle bombardment of natural nickel target for the production of  $^{61}\text{Cu}$ ," Int. J. Appl. Radiat. Isot. **29**, 611-614 (1978).
6. F. Szelecsényi, G. Blessing, M. Qaim, "Excitation functions of proton induced nuclear reactions on enriched  $^{61}\text{Ni}$  and  $^{64}\text{Ni}$ : possibility of production of no-carrier-added  $^{61}\text{Cu}$  and  $^{64}\text{Cu}$  at a small cyclotron," Int. J. Appl. Radiat. Isot. **44**(3), 575-580 (1993).
7. R.B. Firestone, V.S. Shirley, C.M. Baglin, J. Zipkin, "Table of isotopes," 8<sup>th</sup> edition, John Wiley and Sons, New York, 1447 (1996).
8. A.B. Packard, "Synthesis and biodistribution of monocationic diiminedioxime copper complexes," Nucl. Med. Biol. **25**, 531-537 (1998).
9. A.B. Packard, "Lipophilic cationic copper complexes as PET radiopharmaceuticals," Int. J. Labeled. Compd & radiopharm. **40**, 484-486 (1997).

و  $\text{W}$  وزن آن ( $\mu\text{gr}$ ) ۳ باشد، آکتیویته ویژه  $A_s$  از رابطه زیر حساب می‌شود:

$$A_s = (A \times Ra \times M / W)$$

بنابراین آکتیویته ویژه برابر  $304 \text{ Ci/mmole}$  خواهد بود.

## ۴- نتیجه‌گیری

مراحل کنترل کیفی محصول نشان داد که مس-۶۱ تولید شده توسط گروه تحقیقاتی ما، دارای ویژگیهای مناسب برای تهیه رادیود اروها است. پس از سنتز مولکول دارویی PTSM و تأیید ساختار مولکولی آن به روشهای طیفنگاری  $\text{H NMR}$  & Mass نشانه‌گذاری آن با مس-۶۱ انجام گرفت؛ سپس مس آزادشده که واکنش نداده بود، به روش استخراج فاز جامد از محلول نهایی جدا شد و رادیود ارو با درصد خلوص قابل قبول (بالای ۹۹ درصد) بدست آمد. رادیود اروی حاصل پس از عبور از صافی میکروبی ۰/۲۲ میکرون، قابل تجویز به بیمار است و به سبب خلوص رادیوشیمیایی بالای ۹۹ درصد بدون حامل، و با آکتیویته ویژه  $304 \text{ Ci/mmole}$  قابل ارسال به مراکز احتمالی درخواست‌کننده رادیود ارو خواهد بود. مجموع مراحل نشانه‌گذاری و فرمولاسیون رادیود ارو در حدود ۳۰ دقیقه به طول انجامید. با توجه به کاربرد گسترده رادیود اروهای PET<sup>(۷)</sup> برای انجام بررسیهای کمی و کیفی کارکرد قلب، مغز و تومورها، رویکرد متخصصان به خرید و استفاده از دوربینهای PET و فراهم بودن امکانات لازم برای تولید بیشتر  $[^{67}\text{Cu}]$ -PTSM با بهترین شرایط به صورت قابل استفاده در کاربردهای بالینی، میتوان این رادیود ارو را مورد مناسبی برای انجام تحقیقات بیشتر در نظر گرفت.

## پی‌نوشت‌ها:

۱- Electron Capture



19. A.B. Packard, J. F. Kronauge, E. Barbarics, S. Kiani, S. T. Treves, "Synthesis and biodistribution of a Lipophilic  $^{64}\text{Cu}$ -labeled monocationic Copper(II) complex," *Nucl. Med. Biol.* **29**, 289-294 (2002).
20. R.S. Beanlands, O. Muzik, M. Mintun, T. Mangner, K. Lee, N. Petry, G.D. Hutchins, M. Schwaiger, "The kinetics of copper-62-PTSM in the normal human heart," *J. Nucl. Med.* **33(5)**, 684-90 (1992).
21. T.R. Wallhaus, J. Lacy, R. Stewart, J. Bianco, M.A. Green, N. Nayak, C.K. Stone, "Copper-62-pyruvaldehyde bis(N-methyl-thiosemicarbazone) PET imaging in the detection of coronary artery disease in humans," *J. Nucl. Cardiol.* **8(1)**, 67-74 (2001).
22. M. A. Green, M. J. Welch, C. J. Mathias, S. R. Bergmann, J. S. Perlmutter, M. E. Raichle, F. F. Rubio, M. Janik, "Copper-62-PTSM: Production and evaluation of a generator produced multi-purpose PET perfusion agent," *J. Nucl. Med.* **31**, 815 (1990).
23. C. J. Mathias, M. J. Welch, D. J. Perry, A. H. McGuire, X. Zhu, J. M. Connell, M. A. Green, "Investigation of copper-PTSM as a PET tracer for tumor blood flow," *Nucl. Med. Biol.* **18(7)**, 807-811 (1991).
24. M.A. Green, "A potential copper radiopharmaceutical for imaging the heart and brain: copper-labeled pyruvaldehyde Bis ( $N^4$ -methylthiosemicarbazone)," *Nucl. Med. Biol.* **14(1)**, 59-61 (1987).
25. A. R. Jalilian, B. Fateh, M. Ghergherehchi, A. Karimian, M. Matloobi, S. Moradkhani, M. Kamalidehghan, "Preparation, distribution, stability and tumor imaging properties of [ $^{62}\text{Zn}$ ]Bleomycin in normal and tumor-bearing mice," *Iran. J. Radiat. Res.* **1(1)**, 37-44 (2003).
26. B. A. Gingras, T. Suprunchuk, C. H. Bayley, "The preparation of some thiosemicarbazones and their copper complexes," Part III. *Can. J. Chem.* **40**, 1053-1057 (1962).
27. B. Pastakia, L.M. Lieberman, S.J. Gatley, D. Young, D.H. Petering, D. Minkel "Tissue distribution of copper-labeled 3-ethoxy-2-oxobutyraldehyde bis (thiosemicarbazone) (Cu-64 KTS) in mice and rats: concise communication," *J. Nucl. Med.* **21(1)**, 67-70 (1980).
10. M.E. Shelton, M.A. Green, C.J. Mathias, M.J. Welch, "Kinetics of copper-PTSM in isolated hearts: A novel tracer for measuring blood flow with positron emission tomography," *J. Nucl. Med.* **30(11)**, 1843-1847 (1989).
11. M. K. Bhalgat, J. C. Roberts, J. A. Mercer-Smith, B. D. Knotts, R. L. Vessella, D. K. Lavallee, "Preparation and biodistribution of copper-67-labeled porphyrins and porphyrin-A6H immunoconjugates," *Nucl. Med. Biol.* **24(2)**, 179-185 (1997).
12. I. Novak-Hofer, P. A. Schubiger, "Copper-67 as a therapeutic nuclide for radioimmunotherapy," *Eur. J. Nucl. Med. Mol. Imaging.* **29(6)**, 821-830 (2002).
13. G. L. DeNardo, S. J. DeNardo, R. T. O'Donnell, L. A. Kroger, D. L. Kukis, C. F. Meares, D. S. Goldstein, S. Shen, "Are radiometal-labeled antibodies better than iodine-131-labeled antibodies: comparative pharmacokinetics and dosimetry of copper-67-, iodine-131-, and yttrium-90-labeled Lym-1 antibody in patients with non-Hodgkin's lymphoma," *Clin. Lymphoma.* **1(2)**, 118-126 (2000).
14. A. B. Delaloye, B. Delaloye, F. Buchegger, C. A. Vogel, M. Gillet, J. P. Mach, A. Smith, P. A. Schubiger, "Comparison of copper-67- and iodine-125-labeled anti-CEA monoclonal antibody biodistribution in patients with colorectal tumors," *J. Nucl. Med.* **38(6)**, 847-853 (1997).
15. G.D. Robinson, F.W. Zielinski, A.W. Lee, "The zinc-62/copper-62 generator: a convenient source of copper-62 for radiopharmaceuticals," *Int. J. Appl. Radiat. Isot.* **31(2)**, 111-116 (1980).
16. O.P. Anderson, A.B. Packard, "Structural variations in macrocyclic copper (II)," *Inorg. Chem.* **18**, 1940-1947 (1979).
17. O. Obata, E. Yoshimi, A. Waki, J. S. Lewis, N. Oyama, M. J. Welch, H. Saji, Y. Yonekura, Y. Fujibayashi, "Retention mechanism of hypoxia selective nuclear imaging/radiotherapeutic agent Cu-diacetyl-bis( $N^4$ -methylthiosemicarbazone) (Cu-ATSM) in tumor cells," *Ann. Nucl. Med.* **15**, 499-504 (2001).
18. J. S. Lewis, J. M. Connell, J. R. Garbow, T. L. Buettner, Y. Fujibayashi, J. W. Fleshman, M. J. Welch, "Copper-64-pyruvaldehyde-bis( $N^4$ -methylthiosemicarbazone) for the prevention of tumor growth at wound sites following laparoscopic surgery: monitoring therapy response with micro PET and magnetic resonance imaging," *Cancer Res.* **62**, 445-449 (2002).